



DOI:10.3872/j.issn.1007-385x.2023.09.002

· 基础研究 ·

LINC01503通过miR-342-3p/IGF2R轴促进上皮性卵巢癌的进展

吕微^{1a},王佳丽^{1a},刘天旭^{1a},段玉青^{1a},王俊²,刘丽华^{1a,1b,1c}(1.河北医科大学第四医院 a. 肿瘤免疫治疗科;b. 河北省肿瘤研究所;c. 国际合作研究干细胞实验室,河北 石家庄 050011;2. 山东第一医科大学第一附属医院 肿瘤内科,山东 济南 250014)

[摘要] 目的:探讨LINC01503在上皮性卵巢癌(EOC)中的表达水平和生物学功能及其可能的作用机制。方法:收集2015年5月至2016年5月间在河北医科大学第四医院妇瘤科手术切除并经病理学确诊的85例EOC患者的肿瘤组织和输卵管组织。常规培养人EOC细胞A2780、SKOV3、OVCAR3和OV90及正常人卵巢上皮细胞IOSE80,将si-LINC01503、si-NC及miR-342-3p mimic、miR mimic NC分别转染至SKOV3和A2780细胞,分别作为si-LINC01503组、si-NC组、miR-342-3p mimic组和miR mimic NC组。qPCR法检测EOC组织和细胞中LINC01503的表达水平,Kaplan-Meier法分析LINC01503表达水平与患者生存的关系。双荧光素酶报告基因实验验证LINC01503/miR-342-3p/IGF2R轴相关分子间的靶向关系。平板克隆、划痕愈合和Transwell实验分别检测敲低LINC01503及转染miR-342-3p mimic对A2780和SKOV3细胞增殖、迁移和侵袭能力的影响。WB法检测EOC细胞中LINC01503/miR-342-3p通路对IGF2R蛋白表达的影响。构建A2780细胞裸鼠移植瘤模型,观察敲低LINC01503对移植瘤生长的影响。**结果:** EOC组织和细胞中LINC01503表达水平分别显著高于输卵管组织和IOSE80细胞(均P<0.01),LINC01503高表达组患者术后PFS和OS均显著短于LINC01503低表达组患者(均P<0.01)。敲低LINC01503、转染miR-342-3p mimic均可抑制EOC细胞的增殖、迁移和侵袭能力(均P<0.01)。敲低LINC01503可下调IGF2R的表达(P<0.01),这一现象可通过转染miR-342-3p inhibitor挽救。敲低LINC01503可抑制A2780细胞裸鼠移植瘤的生长(P<0.01)。**结论:** 在EOC组织和细胞中呈高表达的LINC01503与患者的不良预后密切相关,LINC01503可能通过吸附miR-342-3p影响IGF2R表达进而促进EOC的进展。

[关键词] 上皮性卵巢癌;LINC01503;miR-342-3p;胰岛素样生长因子2受体;A2780细胞;SKOV3细胞;增殖;迁移;侵袭

[中图分类号] R737.31; R730.23 [文献标识码] A [文章编号] 1007-385x(2023)09-0754-08

LINC01503 promotes progression of epithelial ovarian cancer through the miR-342-3p/IGF2R axis

LYU Wei^{1a}, WANG Jiali^{1a}, LIU Tianxu^{1a}, DUAN Yuqing^{1a}, WANG Jun², LIU Lihua^{1a,1b,1c} (1.a. Department of Tumor Immunotherapy, b. Hebei Cancer Institute; c. International Cooperation Laboratory of Stem Cell Research, the Fourth Hospital of Hebei Medical University, Shijiazhuang 050011, Hebei, China; 2. Department of Oncology, the First Affiliated Hospital of Shandong First Medical University, Jinan 250014, Shandong, China)

[Abstract] **Objective:** To investigate the expression level, biological function and possible mechanism of LINC01503 in epithelial ovarian cancer (EOC). **Methods:** A total of 85 pairs of tumor tissues and fallopian tube tissues from EOC patients who underwent ovarian tumor reduction surgery in the Department of Gynecology, the Fourth Hospital of Hebei Medical University from May 2015 to May 2016 were collected. Human EOC cells A2780, SKOV3, OVCAR3 and OV90 and normal human ovarian epithelial cells IOSE80 were routinely cultured, and si-LINC01503, si-NC, and miR-342-3p mimic, miR mimic NC were transfected into SKOV3 and A2780 cells, respectively, and recorded as si-LINC01503 group, si-NC group, miR-342-3p mimic group and miR mimic NC group. qPCR was used to detect the expression level of LINC01503 in EOC tissues and cells, and Kaplan-Meier method was used to analyze the correlation between the expression of LINC01503 and the survival of EOC patients. Dual-luciferase reporter gene assay was used to verify the targeting relationship among molecules associated with LINC01503/miR-342-3p/IGF2R axis. The effects of LINC01503 knockdown and miR-342-3p over-expression on proliferation, migration and invasion of EOC A2780 and SKOV3 cells were detected by plate cloning assay, scratch wound healing assay and Transwell assay, respectively. The effect of LINC01503/miR-342-3p pathway on IGF2R protein expression was detected by WB method in SKOV3 and A2780 cells. A nude mouse model of A2780 cell

[基金项目] 国家自然科学基金(No. 81871894)

[作者简介] 吕微(1986—),女,博士,主治医师,主要从事恶性肿瘤的临床治疗和肿瘤分子生物学研究,E-mail:lvwei0326@foxmail.com

[通信作者] 刘丽华,E-mail:cdlihualiu@aliyun.com



transplanted tumor was established to observe the effect of LINC01503 on the growth of transplanted tumor. **Results:** The expression levels of LINC01503 in EOC tissues and cells were significantly higher than that in fallopian tube tissues and IOSE80 cells (all $P<0.01$). Kaplan-Meier survival analysis showed that compared with the low LINC01503 expression group, patients in the high LINC01503 expression group had significantly shorter PFS and OS after surgery (all $P<0.01$). Knockdown of LINC01503 and over-expression of miR-342-3p could inhibit proliferation, migration, and invasion of EOC cells (all $P<0.01$). WB results showed that knockdown of LINC01503 down-regulated the expression of IGF2R ($P<0.01$), which could be saved by transfection of miR-342-3p inhibitor ($P<0.01$). LINC01503 knockdown could inhibit the growth of A2780 cell transplanted tumors *in vivo* ($P<0.01$). **Conclusion:** LINC01503 is highly expressed in EOC tissues and cells, and it is significantly related to the poor prognosis of EOC patients. LINC01503 promotes the development of EOC possibly by upregulating IGF2R *via* sponging miR-342-3p.

[Key words] epithelial ovarian cancer (EOC); LINC01503; miR-342-3p; insulin like growth factor 2 receptor (IGF2R); A2780 cell; SKOV3 cell; proliferation; migration; invasion

[Chin J Cancer Biother, 2023, 30(9): 754-761. DOI: 10.3872/j.issn.1007-385x.2023.09.002]

卵巢癌是病死率最高的妇科恶性肿瘤,上皮性卵巢癌(epithelial ovarian cancer, EOC)是卵巢癌中最常见的病理类型^[1-2]。虽然治疗手段不断丰富,但其早期诊断困难、复发转移率高、易产生铂耐药、5年生存率低仍是EOC目前诊断和治疗中难以突破的瓶颈^[3]。基因的异常表达通常会对肿瘤细胞的恶性生物学行为产生影响,因此,阐明EOC发生发展中的分子机制有可能为EOC的诊断和治疗提供新的思路。lncRNA作为肿瘤领域研究的热点,已经被证实参与多种恶性肿瘤的发生发展^[4-6]。LINC01503作为一种lncRNA,其可促进胰腺癌^[7]、胶质母细胞瘤^[8]、非小细胞肺癌^[9]、鳞状细胞癌^[10]等多种类型肿瘤的发生发展,但其在EOC发生发展中的作用及其机制尚鲜有研究报道。本研究探讨LINC01503在EOC组织中的表达水平及临床意义,并初步探索其对EOC细胞增殖、迁移与侵袭和荷瘤小鼠移植瘤生长的影响及其可能的作用机制,旨在为筛选EOC诊断的生物标志物和治疗靶标提供参考依据。

1 材料与方法

1.1 临床资料

收集2015年5月至2016年5月间河北医科大学第四医院手术的85例EOC患者的肿瘤组织和输卵管组织,组织标本离体后迅速置于液氮中,后转于-80℃冰箱存放待用。患者年龄为26~74岁,中位年龄为59岁。按照国际妇产科联盟(International Federation of Gynecology and Obstetrics, FIGO)的癌症分期标准:I+II期34例,III+IV期51例。所有组织标本在切取前均告知患者或家属并签署知情同意书,研究方案经过河北医科大学第四医院医学伦理委员会批准(伦理批准号:2015KY317)。

1.2 细胞及主要试剂

人EOC细胞A2780、SKOV3、OVCAR3、OV90和正常人卵巢上皮细胞IOSE80均购于普赛尔生命科技有限公司。DMEM培养基、胰蛋白酶购自武汉普诺

赛生物公司,胎牛血清购自新西兰Ausbian公司, RNA提取试剂、逆转录试剂和SYBR Green荧光定量试剂均购自上海翌圣生物科技股份有限公司,转染试剂Lipofectamine™2000购自美国Invitrogen公司, Transwell小室购自美国Corning公司,干扰序列LINC01503-siRNA由苏州吉玛基因股份有限公司合成,引物由上海生物工程有限公司合成。兔抗人胰岛素样生长因子2受体(insulin like growth factor 2 receptor, IGF2R)、GAPDH一抗均购自美国Abcam公司,HRP标记的山羊抗兔二抗购自中杉金桥公司。

1.3 细胞培养、转染及分组

A2780、SKOV3、OVCAR3、OV90和IOSE80细胞均用含有10%胎牛血清、100 U/mL青霉素、100 μg/mL链霉素的DMEM培养基进行培养,并将其放置于37℃、5%CO₂培养箱中。

取对数生长期细胞,按照siRNA转染试剂盒说明书的步骤,将si-LINC01503、si-NC及miR-342-3p mimic、miR mimic NC分别转染至SKOV3和A2780细胞,培养48 h后进行后续实验。

1.4 qPCR法检测EOC组织和细胞中LINC01503、miR-342-3p的表达

用TRIzol试剂提取组织和细胞的总RNA,用逆转录试剂盒进行逆转录,获得的cDNA作为模板进行扩增。引物序列:LINC01503上游引物为5'-GGGACGGAGACAAATGACGG-3',下游引物为5'-GCAAATTCTGTGAAGCGTCCATA-3';miR-342-3p上游引物为5'-GTGCTATCTGTGATTGAGGGA-3',下游引物为5'-CGGGTGCGATTCTGTG-3'。PCR反应条件:95℃5 min;95℃15 s、59℃30 s、72℃30 s,共38个循环。以2^{-ΔΔCt}法计算目的基因mRNA的相对表达量。

1.5 克隆形成实验检测敲低LINC01503表达对EOC细胞增殖能力的影响

将各组细胞按照每孔1×10³个细胞的密度接种于6孔板中,置于培养箱中培养,约每3 d换液一次,

待单个克隆集落细胞数目超过50个时即可终止培养,用PBS洗涤,然后每孔中加入1 mL 4%多聚甲醛固定30 min,PBS洗涤后使用0.1%结晶紫染色15 min,PBS洗涤并晾干,最后拍照并进行结果分析。

1.6 划痕愈合实验检测敲低LINC01503对EOC细胞迁移能力的影响

将各组细胞以每孔 5×10^5 个接种到6孔板中,当细胞汇合度达80%时,用无菌微量移液吸头在每孔底壁的细胞上垂直划痕来制备划痕伤口,用无菌PBS冲洗细胞3次,将培养基更换为不含血清的培养基,分别于0 h和48 h在倒置显微镜下观察并拍照。

1.7 Transwell实验检测敲低LINC01503对EOC细胞侵袭能力的影响

将各组细胞密度为 5×10^4 个/mL的细胞悬液200 μ L加入预先铺好基质胶的Transwell小室上室,在下室中加入600 μ L DMEM培养基,培养24 h。PBS冲洗3次,加入1 mL 4%多聚甲醛溶液固定20 min,PBS清洗后,加入0.1%结晶紫染液1 mL染色15 min,用清水轻轻冲洗,晾干后在显微镜下观察,并随机选取5个视野进行拍照,统计穿膜侵袭细胞数。

1.8 双荧光素酶报告基因实验验证LINC01503与miR-342-3p、miR-342-3p与IGF2R的靶向关系

构建LINC01503突变型(MUT)和野生型(WT)3'非翻译区(3'-UTR)的报告基因质粒,通过体外转染,将SKOV3和A2780细胞分为4组:miR-342-3p mimic+LINC01503-WT、miRNA mimic NC+LINC01503-WT、miR-342-3p mimic+LINC01503-MUT和miRNA mimic NC+LINC01503-MUT,每组3个复孔。同时,构建IGF2R突变型(MUT)和野生型(WT)报告基因质粒,将A2780和SKOV3细胞分为4组:miR-342-3p mimic+IGF2R-WT、miR mimic NC+IGF2R-WT、miR-342-3p mimic+IGF2R-MUT和miR mimic NC+IGF2R-MUT,每组设置3个复孔。培养48 h后按照双荧光素酶试剂盒说明书检测细胞的荧光素酶活性。

1.9 WB法检测LINC01503/miR-342-3p通路对IGF2R蛋白表达的影响

通过体外转染,将SKOV3和A2780细胞分为空载体(EV)组、si-LINC01503组、si-LINC01503+miR-342-3p inhibitor组,分别加入细胞裂解液及蛋白酶抑制剂,提取细胞总蛋白。采用10%SDS-PAGE分离蛋白质,将蛋白质转移至PVDF膜,5%脱脂牛奶中在37 °C温箱封闭60 min。加入IGF2R(稀释比例为1:2 000)、GAPDH(稀释比例为1:2 500)一抗,4 °C处理过夜。TBST洗膜3次(10 min/次),加入HRP标记的山羊抗兔二抗(稀释比例为1:20 000),摇床室温下处理60 min。TBST洗膜3次后,ECL试剂曝光、显影,用Image J软件分析蛋白质条带的灰度值。

1.10 A2780细胞裸鼠移植瘤模型的构建及观察

将10只4周龄的BALB/c雌性裸鼠按随机数字表法分成2组,每组5只。取对数生长期的2组A2780细胞,分为空载体(EV)组、si-LINC01503组。将密度为 5×10^5 个/mL的细胞悬液100 μ L注射于裸鼠腹股沟区皮下。每3 d称1次裸鼠体质量,每1周用游标卡尺测量1次移植瘤的大小,依据公式“ $V(\text{体积})=(\text{长径}\times\text{短径}^2)/2$ ”计算移植瘤体积,绘制移植瘤生长曲线。35 d后对各组裸鼠实施安乐死,取出移植瘤拍照并称瘤质量。

1.11 统计学处理

以上主要实验均独立重复3次。采用SPSS 22.0软件对实验数据进行分析。呈正态分布的计量资料以 $\bar{x}\pm s$ 表示,组间数据比较采取两独立样本t检验;采用Kaplan-Meier法分析LINC01503表达水平与患者生存期的相关性。以 $P<0.05$ 或 $P<0.01$ 表示差异有统计学意义。

2 结果

2.1 LINC01503在EOC组织和细胞中均呈高表达

qPCR法检测结果(图1)显示,EOC组织中LINC01503的表达水平显著高于输卵管组织(图1A, $P<0.01$),EOC细胞中LINC01503的表达水平显著高于IOSE80细胞(图1B,均 $P<0.01$)。结果表明,LINC01503在EOC组织和细胞中均呈高表达。

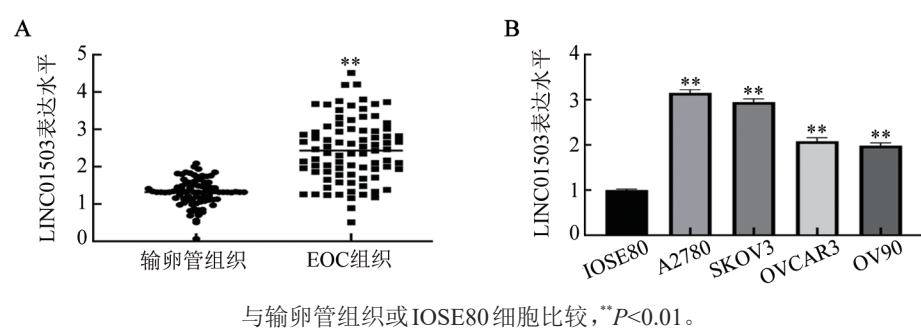


图1 qPCR法检测LINC01503在EOC组织(A)和细胞(B)中的表达

2.2 LINC01503表达与EOC患者预后的关系

以LINC01503表达的均值作为分界线将患者分成高、低表达两组,小于等于均值的为低表达,大于均值的为高表达。本组患者随访时间为60个月,采用Kaplan-Meier法分析,结果(图2)显示,与LINC01503低表达组相比,LINC01503高表达组患者的PFS和OS均明显缩短(均 $P<0.01$)。

2.3 敲低LINC01503可抑制EOC细胞的增殖、迁移和侵袭能力

qPCR法检测结果(图3A)显示,与si-NC组相

比, si-LINC01503组SKOV3和A2780细胞中LINC01503的表达水平均显著下降($P<0.01$),表明在EOC细胞中成功敲低LINC01503表达,可以进行后续功能实验。

平板克隆、划痕愈合和Transwell实验结果(图3B、3C、3D)显示,与si-NC组比较,敲低si-LINC01503组SKOV3和A2780细胞的增殖、迁移及侵袭能力均显著降低(均 $P<0.01$)。结果表明,敲低LINC01503表达可显著抑制EOC细胞的增殖、迁移和侵袭能力。

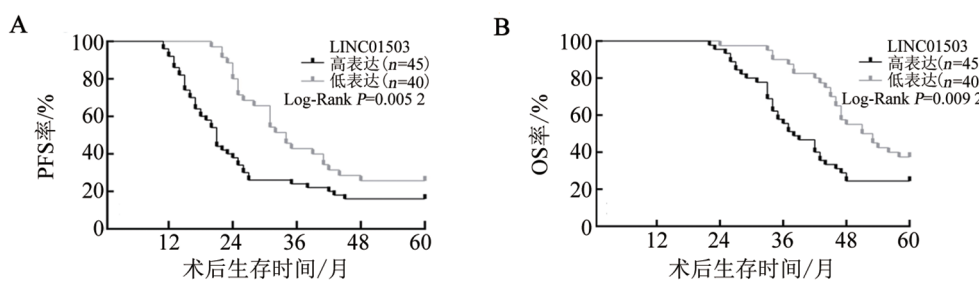
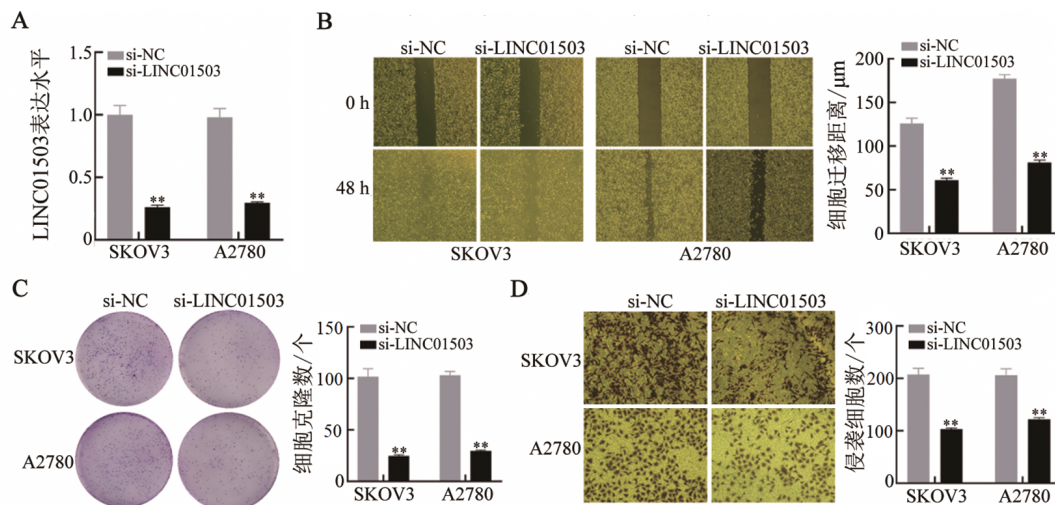


图2 Kaplan-Meier法分析LINC01503表达水平对EOC患者术后PFS(A)和OS(B)的影响



A:qPCR法检测SKOV3、A2780细胞中敲低LINC01503后的转染效率;B:划痕愈合实验检测SKOV3、A2780细胞的迁移($\times 40$);C:平板克隆形成实验检测SKOV3、A2780细胞的增殖能力;D:Transwell实验检测SKOV3、A2780细胞的侵袭能力(结晶紫染色, $\times 200$)。与si-NC组比较, $**P<0.01$ 。

图3 敲低LINC01503对EOC细胞迁移、增殖、侵袭的影响

2.4 在EOC细胞中LINC01503可靶向结合miR-342-3p

用DIANA LncBase v.2数据库预测可能与LINC01503结合的miRNA,结果如图4A所示,LINC01503转录本上存在与miR-342-3p相互作用的结合位点。

双荧光素酶报告基因实验结果(图4B)显示,共转染miR-342-3p mimic显著降低转染LINC01503-WT细胞的荧光素酶活性($P<0.01$),但LINC01503-MUT组细胞的荧光素酶活性未降低。

结果表明,LINC01503可作为miR-342-3p的内源竞争RNA(competing endogenous RNA, ceRNA)与之结合。

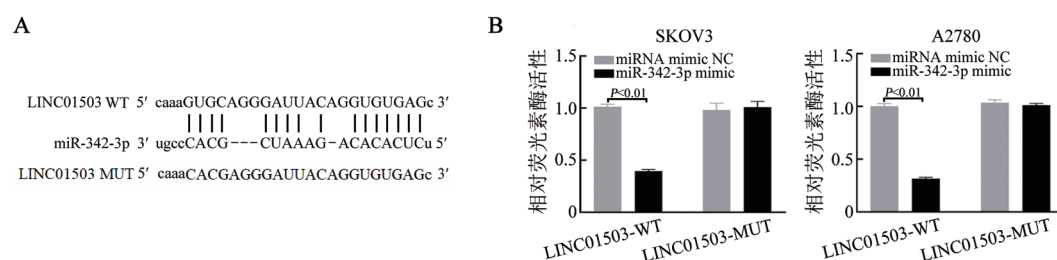
2.5 miR-342-3p过表达可抑制EOC细胞的增殖、迁移和侵袭能力

qPCR法检测结果(图5A、B)显示,miR-342-3p在EOC细胞中呈低表达状态(均 $P<0.01$);与miRNA mimic NC组相比,miR-342-3p mimic组细胞中miR-342-3p的含量明显升高(均 $P<0.01$),说明转染

成功,建立稳定过表达miR-342-3p的细胞模型。

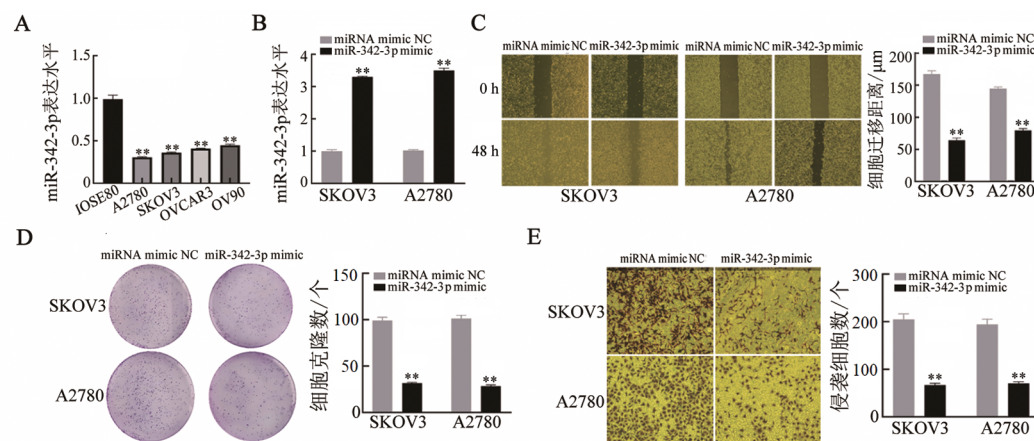
平板克隆形成、划痕愈合和Transwell侵袭实验结果发现,与miRNA mimic NC组相比,miR-342-3p mimic组A2780和SKOV3细胞的迁移(图5C)、增殖

(图5D)和侵袭(图5E)能力均显著降低(均P<0.01)。结果表明,过表达miR-342-3p可显著抑制A2780和SKOV3细胞的增殖、迁移和侵袭能力,提示miR-342-3p在EOC中可能充当了抑癌基因的角色。



A: DIANA LncBase v.2 预测 miR-342-3p 和 LINC01503 结合的位点; B: 双荧光素酶报告基因实验检测荧光素酶活性。

图4 LINC01503能够靶向结合miR-342-3p



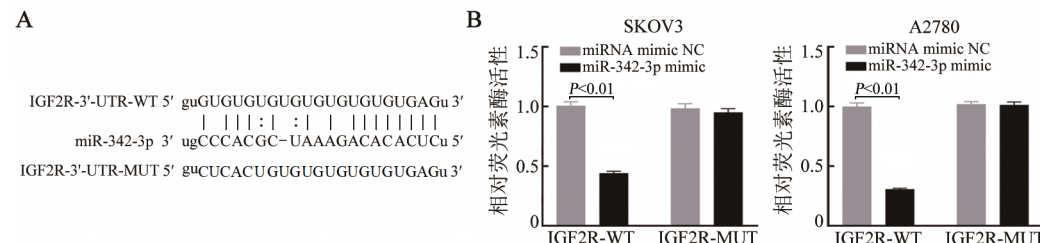
A:qPCR法检测IOSE80和EOC细胞中miR-342-3p的表达;B:qPCR法检测转染效率;C:划痕愈合实验检测SKOV3、A2780细胞的迁移能力($\times 40$);D:平板克隆形成实验检测细胞增殖能力;E:Transwell实验检测SKOV3、A2780细胞的侵袭能力(结晶紫染色, $\times 200$)。与miRNA mimic NC组比较,**P<0.01。

图5 过表达miR-342-3p对EOC细胞迁移、增殖、侵袭的影响

2.6 在EOC细胞中IGF2R是miR-342-3p的直接靶点

利用数据库预测miR-342-3p下游的潜在结合基因,结果发现,IGF2R的3'-UTR上有一个潜在的与miR-342-3p相互作用的结合位点(图6A)。双荧光素报告基因实验结果(图6B)发现,转染miR-342-3p

mimic后显著降低了转染IGF2R-3'-UTR-WT的EOC细胞荧光素酶活性($P<0.01$),而IGF2R-3'-UTR-MUT组细胞的荧光素酶活性没有下降。实验表明,miR-342-3p可以靶向结合IGF2R。



A: 数据库预测miR-342-3p和IGF2R潜在结合位点;B: 双荧光素酶报告基因实验检测荧光素酶活性。

图6 miR-342-3p靶向结合IGF2R



2.7 LINC01503/miR-342-3p轴对IGF2R蛋白表达的影响

WB法检测结果(图7)显示,与EV组相比,si-LINC01503组IGF2R蛋白表达水平显著降低($P<0.01$),si-LINC01503+miR-342-3p inhibitor组IGF2R蛋白表达无明显变化,说明抑制miR-432-3p可以部分逆转由敲低LINC01503引起的IGF2R的下调。结果表明,LINC01503可能通过吸附miR-342-3p

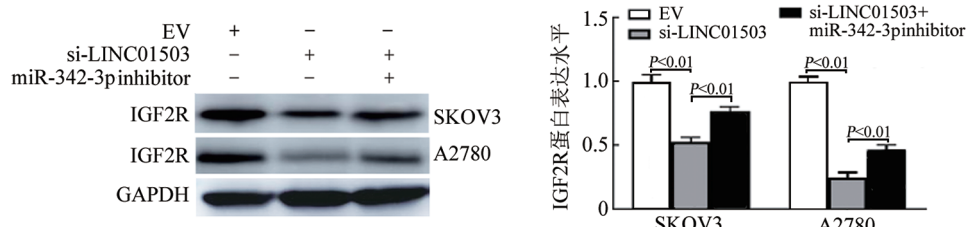


图7 IGF2R在不同处理组SKOV3、A2780细胞的表达



A:肿瘤生长曲线;B:不同处理组移植瘤大小及质量分析。

图8 LINC01503对裸鼠移植瘤生长的影响

3 讨论

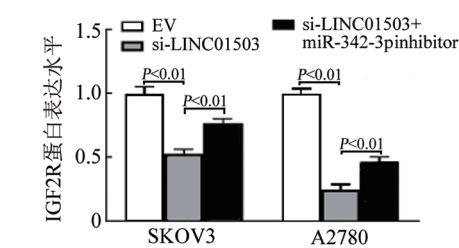
EOC作为一种恶性程度极高的妇科肿瘤,其发病原因不明、治疗方法有限、预后欠佳,是国内外学者的重点研究领域。多项研究^[11-14]表明,lncRNA在EOC的发生发展中起重要作用,有望成为肿瘤进展过程中的新型治疗靶标。LINC01503作为一种新型lncRNA,参与和影响多种人类肿瘤细胞的恶性生物学行为。例如,在胃癌中LINC01503可以通过miR-133a-5p/VIM轴促进上皮间质转化^[15];在鼻咽癌中可以通过SFPQ-FOSL1轴促进肿瘤细胞增殖和转移^[16];在结直肠癌中通过调控miR-4492/FOXK1信号通路促进结直肠癌细胞的增殖和侵袭^[17];在肝细胞癌中通过激活MAPK/ERK通路促进肿瘤的进展^[18];在宫颈癌中通过靶向miR-615-3p/CCND1轴发挥促癌作用^[19]。目前,LINC01503在EOC发生发展中的作用及相关机制尚未见报道。

为明确LINC01503在EOC组织中的表达情况,通过qPCR法检测了EOC组织和输卵管组织中

上调IGF2R的表达,参与了EOC的发生发展。

2.8 敲低LINC01503可显著抑制裸鼠移植瘤的生长

成功建立A2780细胞小鼠移植瘤模型。分析移植瘤生长曲线发现,与EV组相比,si-LINC01503组小鼠移植瘤体积明显减小(图8A, $P<0.01$),移植瘤质量显著降低(图8B, $P<0.01$)。结果表明,敲低LINC01503明显抑制裸鼠EOC细胞移植瘤的生长。



LINC01503表达水平,结果发现EOC组织中LINC01503的表达水平显著高于输卵管组织,提示LINC01503可能在EOC发生与发展过程中发挥了促癌作用。为了明确LINC01503在EOC患者中的临床意义,本研究通过Kaplan-Meier法分析了LINC01503的表达水平与EOC患者预后的关系,结果表明,LINC01503高表达EOC患者的PFS和OS均显著短于LINC01503低表达的患者,提示LINC01503可能与EOC的预后不良密切相关。无限增殖是恶性肿瘤细胞的重要标志,侵袭和转移的能力也是影响癌症患者预后的关键因素。本研究通过体外细胞功能实验探讨LINC01503对EOC生物学功能的影响,结果表明,LINC01503可促进EOC细胞增殖、迁移和侵袭能力。以上结果表明LINC01503在EOC的恶性进展过程中发挥了促癌作用。

lncRNA存在多种调控机制,其中作为ceRNA间接调控靶基因的表达是其最常见的功能机制^[20]。为了验证LINC01503是否通过ceRNA的机制发挥促癌作用,本研究首先使用DIANA LncBase v.2数据库预测可能被LINC01503海绵吸附的下游靶miR-342-3p。

通过双荧光素酶报告基因实验验证了LINC01503和miR-342-3p的潜在结合性,同时探索了miR-342-3p在EOC发生发展过程中的作用。在本研究中,观察到miR-342-3p在EOC细胞中低表达,转染miR-342-3p mimic后可以抑制EOC细胞的增殖、迁移和侵袭能力。本研究结果为miR-342-3p在EOC中发挥抑癌作用提供了证据。miRNA能够与argonaute家族蛋白组成沉默复合体,进而阻断靶mRNA的翻译或降解,最终在转录后水平调控基因的表达^[21]。为此,本研究通过数据库分析筛选出miR-342-3p下游的靶基因,IGF2R引起了课题组的注意,因为IGF2R在多种类型肿瘤中发挥了促癌作用^[22-24]。为了验证LINC01503是否通过吸附miR-342-3p影响IGF2R的表达水平,从而在EOC中发挥促癌作用,本研究进行了挽救实验。结果表明,敲低LINC01503导致IGF2R表达水平下调,而共转染miR-342-3p inhibitor可逆转这一现象。以上结果表明,LINC01503可作为ceRNA与miR-342-3p相结合,通过上调IGF2R的表达水平在EOC中发挥促癌作用。

为探讨LINC01503的体内致瘤作用,本研究在裸鼠腹股沟区皮下注射敲低LINC01503的人EOC细胞A2780,同时设置阴性对照EV组,构建A2780细胞裸鼠皮下移植瘤模型。结果发现,敲低LINC01503可以显著减慢裸鼠皮下移植瘤的生长速度,小鼠移植瘤的体积和质量均显著下降。以上结果表明,LINC01503可以促进A2780细胞裸鼠移植瘤的生长。

综上所述,LINC01503在EOC组织和细胞中高表达,与EOC患者预后不良密切相关;LINC01503可促进EOC细胞增殖、迁移和侵袭能力,可能是通过吸附miR-342-3p上调IGF2R表达水平在EOC中发挥了促癌作用。本研究为筛选EOC诊断和治疗的生物标志物奠定了一定的实验基础,但其中具体的作用机制有待更深入的研究去验证。

参 考 文 献

- [1] SIEGEL R L, MILLER K D, FUCHS H E, et al. Cancer statistics, 2021[J]. CA Cancer J Clin, 2021, 71(1): 7-33. DOI: 10.3322/caac.21669.
- [2] LHEUREUX S, GOURLEY C, VERGOTE I, et al. Epithelial ovarian cancer[J]. Lancet, 2019, 393(10177): 1240-1253. DOI: 10.1016/s0140-6736(18)32552-2.
- [3] KUROKI L, GUNTUPALLI S R. Treatment of epithelial ovarian cancer[J/OL]. BMJ, 2020, 371: m3773[2023-05-18]. <https://pubmed.ncbi.nlm.nih.gov/33168565/>. DOI: 10.1136/bmj.m3773.
- [4] STATELLO L, GUO C J, CHEN L L, et al. Gene regulation by long non-coding RNAs and its biological functions[J]. Nat Rev Mol Cell Biol, 2021, 22(2): 96-118. DOI: 10.1038/s41580-020-00315-9.
- [5] GOODALL G J, WICKRAMASINGHE V O. RNA in cancer[J]. Nat Rev Cancer, 2021, 21(1): 22-36. DOI: 10.1038/s41568-020-00306-0.
- [6] ULITSKY I, BARTEL D P. lncRNAs: genomics, evolution, and mechanisms[J]. Cell, 2013, 154(1): 26-46. DOI: 10.1016/j.cell.2013.06.020.
- [7] AN B P, CAI Y, ZHU J, et al. Long noncoding RNA LINC01503 silencing suppresses KLK4 expression to impede pancreatic cancer development as miR-1321 sponge[J/OL]. Biomed Res Int, 2023, 2023: 5403344[2023-05-18]. <https://www.ncbi.nlm.nih.gov/pmc/articles/PMC9922183/>. DOI: 10.1155/2023/5403344.
- [8] CHEN F, PENG X, TENG Z P, et al. Identification of prognostic lncRNAs subtypes predicts prognosis and immune microenvironment for glioma[J/OL]. Evid Based Complement Alternat Med, 2022, 2022: 3709823[2023-05-18]. <https://www.ncbi.nlm.nih.gov/pmc/articles/PMC9568296/>. DOI: 10.1155/2022/3709823.
- [9] ZHANG M L, ZHAO T T, DU W W, et al. C-MYC-induced upregulation of LINC01503 promotes progression of non-small cell lung cancer[J]. Eur Rev Med Pharmacol Sci, 2020, 24(21): 11120-11127. DOI: 10.26355/eurrev_202011_23599.
- [10] XIE J J, JIANG Y Y, JIANG Y, et al. Super-enhancer-driven long non-coding RNA LINC01503, regulated by TP63, is over-expressed and oncogenic in squamous cell carcinoma[J]. Gastroenterology, 2018, 154(8): 2137-2151.e1. DOI: 10.1053/j.gastro.2018.02.018.
- [11] ZHOU L, JIANG H Y, LIN L, et al. lncRNA GAS5 suppression of the malignant phenotype of ovarian cancer via the miR-23a-WT1 axis[J/OL]. Ann Transl Med, 2023, 11(2): 119[2023-05-18]. <https://www.ncbi.nlm.nih.gov/pmc/articles/PMC9929739/>. DOI: 10.21037/atm-22-6394.
- [12] EOH K J, LEE D W, NAM E J, et al. HOXA-AS3 induces tumor progression through the epithelial-mesenchymal transition pathway in epithelial ovarian cancer[J/OL]. Oncol Rep, 2023, 49(3): 64[2023-05-18]. <https://www.ncbi.nlm.nih.gov/pmc/articles/PMC9944947/>. DOI: 10.3892/or.2023.8501.
- [13] LI S H, SHEN S Z, GE W Z, et al. Long non-coding RNA SLC25A21-AS1 inhibits the development of epithelial ovarian cancer by specifically inducing PTBP3 degradation[J/OL]. Biomark Res, 2023, 11(1): 12[2023-05-18]. <https://www.ncbi.nlm.nih.gov/pmc/articles/PMC9885650/>. DOI: 10.1186/s40364-022-00432-x.
- [14] 吕微,王佳丽,贾云泷,等. lncRNA TOB1-AS1在上皮性卵巢癌组织中的表达及其临床意义[J]. 中国肿瘤生物治疗杂志, 2021, 28(11): 1061-1067[2023-05-18]. DOI: 10.3872/j.issn.1007-385x.2021.11.002.
- [15] GUO Y L, SUN P P, GUO W, et al. Long non-coding RNA LINC01503 promotes gastric cardia adenocarcinoma progression via miR-133a-5p/VIM axis and EMT process[J/OL]. Dig Dis Sci, 2021, 66(10): 3391-3403[2023-05-18]. <https://www.ncbi.nlm.nih.gov/pmc/articles/3535292/>. DOI: 10.1007/s10620-020-06690-9.
- [16] HE S W, XU C, LI Y Q, et al. Correction: AR-induced long non-coding RNA LINC01503 facilitates proliferation and metastasis via the SFQ-FOSL1 axis in nasopharyngeal carcinoma[J/OL]. Oncogene, 2021, 40(49): 6703-6704[2023-05-18]. <https://www.ncbi.nlm.nih.gov/pmc/articles/PMC8660634/>. DOI: 10.1038/s41388-021-02050-7.
- [17] LU S R, LI Q, LU J L, et al. Long non-coding RNA LINC01503 promotes colorectal cancer cell proliferation and invasion by regulating miR-4492/FOXK1 signaling[J/OL]. Exp Ther Med, 2023, 25(5): 4011-4020. DOI: 10.1016/j.etm.2023.05.018.



- 2018, 16(6): 4879-4885[2023-05-18]. <https://www.ncbi.nlm.nih.gov/pmc/articles/PMC6257603/>. DOI: 10.3892/etm.2018.6775.
- [18] WANG M R, FANG D, DI M P, et al. Long non-coding RNA LINC01503 promotes the progression of hepatocellular carcinoma via activating MAPK/ERK pathway[J/OL]. Int J Med Sci, 2020, 17(9): 1224-1234[2023-05-18]. <https://www.ncbi.nlm.nih.gov/pmc/articles/PMC7294912/>. DOI: 10.7150/ijms.45256.
- [19] FENG J, GAO F Y, LI Y Y, et al. Upregulation of LINC01503 promotes cervical cancer progression by targeting the miR-615-3p/CCND1 axis[J/OL]. J Cancer, 2021, 12(15): 4552-4560[2023-05-18]. <https://www.ncbi.nlm.nih.gov/pmc/articles/PMC8210569/>. DOI: 10.7150/jca.54148.
- [20] NOJIMA T, PROUDFOOT N J. Mechanisms of lncRNA biogenesis as revealed by nascent transcriptomics[J/OL]. Nat Rev Mol Cell Biol, 2022, 23(6): 389-406[2023-05-18]. <https://www.ncbi.nlm.nih.gov/pmc/articles/5095917/>. DOI: 10.1038/s41580-021-00447-6.
- [21] TREIBER T, TREIBER N, MEISTER G. Regulation of microRNA biogenesis and its crosstalk with other cellular pathways[J/OL]. Nat Rev Mol Cell Biol, 2019, 20(1): 5-20[2023-05-18]. <https://www.ncbi.nlm.nih.gov/pmc/articles/2675692/>. DOI: 10.1038/s41580-018-0059-1.
- [22] ZHONG Y, REN X Y, CAO X, et al. Insulin-like growth factor 2 receptor is a key immune-related gene that is correlated with a poor prognosis in patients with triple-negative breast cancer: a bioinformatics analysis[J/OL]. Front Oncol, 2022, 12: 871786[2023-05-18]. <https://www.ncbi.nlm.nih.gov/pmc/articles/PMC9624382/>. DOI: 10.3389/fonc.2022.871786.
- [23] LIU B, HU Y Q, WAN L X, et al. Proteomics analysis of cancer tissues identifies IGF2R as a potential therapeutic target in laryngeal carcinoma[J/OL]. Front Endocrinol (Lausanne), 2022, 13: 1031210[2023-05-18]. <https://www.ncbi.nlm.nih.gov/pmc/articles/PMC9592118/>. DOI: 10.3389/fendo.2022.1031210.
- [24] BOISCLAIR C, DICKINSON R, GIRI S, et al. Characterization of IGF2R molecular expression in canine osteosarcoma as part of a novel comparative oncology approach[J/OL]. Int J Mol Sci, 2023, 24(3): 1867[2023-05-18]. <https://www.ncbi.nlm.nih.gov/pmc/articles/PMC9916217/>. DOI: 10.3390/ijms24031867.

[收稿日期] 2023-05-19

[修回日期] 2023-08-09

[本文编辑] 党瑞山